

瞬时频谱分析及其在地震趋势 估计中的应用*

郑治真 胡劲波

(中国北京 100081 国家地震局地球物理研究所)

摘要

首先简述了瞬时频谱分析理论，并用 3 个信号的瞬时频谱计算结果与其 Fourier 谱的比较，说明了瞬时谱的优越性。最后，将瞬时频谱分析用于华北地区几个地震带的地震趋势估计的研究中。结果表明，用地震序列的瞬时谱分析，不仅对未来大震的发生时间，而且对大地震的震级，都能给出较好的估计。

关键词 瞬时频谱；WD；瞬时频率

1. 引言

频谱分析方法在地震资料处理中有着广泛的应用。例如震源参数的频谱研究，用频谱分析方法从地震前兆观测资料中提取地震孕育信息，特别是从地震序列的频谱分析结果中提取大地震的复发周期，用于大地震的趋势估计，是前人研究中常用的方法。但是，前人所用的各种谱分析方法，不论是 Fourier 谱、功率谱、还是最大熵谱，都属于稳态信号分析理论，只适用于稳态信号的处理，它所给出的参数只是信号总体的平均结果。然而，越来越多的研究表明，地震孕育过程是非稳态过程，因而采用稳态谱分析方法从地震前兆资料中提取的信息，在地震趋势估计中收效甚微。尽管一些人采用 SFT 方法，试图改进频谱计算结果 (Jane *et al.*, 1983)，但是 SFT 方法本身仍然建立在稳态假设基础上，没有取得明显改进。本文引用瞬态频谱分析理论，又称 WD (Wigner Distribution)，它适用于非稳态信号分析，能给出时间信号在任一时刻的频率成份。WD 是 Wigner (1932) 提出来的，用于量子力学研究中。1948 年 Ville 把它引入信号分析中。Classen 等 (1980) 在信号分析理论基础上，对 WD 进行了详细研究。到目前为止，已有不少学科开始应用 WD，并获得显著成功 (Boachan, 1985; Martin, 1984; Bartels *et al.*, 1986)。

本文通过对华北地区几个地震带地震序列的分析研究，探讨了 WD 在地震趋势估计中的应用。前人的大量研究表明，采用稳态频谱理论分析地震序列，只能获得序列总体的

* 国家地震局地球物理研究所论著 93A0013。

1990 年 12 月 24 日收到本文初稿，1991 年 9 月 13 日决定采用。

平均性质,而地震趋势估计需要的是随时间不断变化的信息.采用 WD 方法恰恰满足了上述要求,不仅能获得任一时刻的瞬时周期,而且能估计未来地震的震级,从而为用地震序列估计大震趋势开辟了新途径.

2. WD 简介

下面仅介绍本文需用到的一些 WD 的重要内容:

2.1 连续信号的WD

两个任意信号 $f(t)$ 和 $g(t)$, 它们的互 WD (Cross-Wigner Distribution) 定义为

$$W_{f,g}(t, \omega) = \int_{-\infty}^{\infty} e^{-j\omega\tau} f(t + \frac{\tau}{2}) g^*(t - \frac{\tau}{2}) d\tau$$

一个信号的 $f(t)$ 的自 WD (Auto-Wigner Distribution) 定义为

$$W_f(t, \omega) = \int_{-\infty}^{\infty} e^{-j\omega\tau} f(t + \frac{\tau}{2}) f^*(t - \frac{\tau}{2}) d\tau \quad (1)$$

若 $F(\omega)$ 是 $f(t)$ 的 Fourier 变换, 那么 $f(t)$ 的 WD 还定义为

$$W_F(\omega, t) = \frac{1}{2\pi} \int_{-\infty}^{\infty} e^{j\xi t} F(\omega + \frac{\xi}{2}) F^*(\omega - \frac{\xi}{2}) d\xi \quad (2)$$

且有

$$W_f(t, \omega) = W_F(\omega, t) \quad (3)$$

(3) 式说明了信号 WD 的定义, 在时间域和频率域中是对称的.

据本文需要, 以下仅介绍自 WD.

2.2 WD 的几个重要性质

- (1) 时移性 若 $f(t-t_1)$, 则有 $W_f(t-t_1, \omega)$;
- (2) 频移性 若 $f(t) \cdot e^{j\Omega t}$, 则有 $W_f(t, \omega-\Omega)$;
- (3) 时限性 若 $f(t)=0$, $t < t_a$ 或 $t > t_b$, 则有 $W_f(t, \omega)=0$, $t < t_a$ 或 $t > t_b$;
- (4) 频限性 若 $F(\omega)=0$, $\omega < \omega_a$ 或 $\omega > \omega_b$, 则有 $W_f(t, \omega)=0$, $\omega < \omega_a$ 或 $\omega > \omega_b$;
- (5) 平均频率 定义为

$$\Omega_f(t) = \frac{1}{2\pi} \int_{-\infty}^{\infty} \omega W_f(t, \omega) d\omega / \frac{1}{2\pi} \int_{-\infty}^{\infty} W_f(t, \omega) d\omega \quad (4)$$

若 $f(t) = v(t) e^{j\phi(t)}$, 可以证明有

$$\Omega_f(t) = \psi'(t)$$

即平均频率等于瞬时频率(这是本文要用到的性质).

(6) 平均时间 定义为

$$T_f(\omega) = \int_{-\infty}^{\infty} t W_f(t, \omega) dt / \int_{-\infty}^{\infty} W_f(t, \omega) dt$$

若 $F(\omega) = A(\omega)e^{j\psi(\omega)}$, 可以证明有

$$T_f(\omega) = -\psi'(\omega)$$

即平均时间等于群延迟.

(7) 解析信号的 WD 令 $f(t)$ 是实信号, 定义它的解析信号为

$$f_a(t) = f(t) + j\hat{f}(t) \quad (5)$$

式中, $\hat{f}(t)$ 是 $f(t)$ 的 Hilbert 变换

$$\hat{f}(t) = \frac{1}{\pi} v \cdot p \int_{-\infty}^{\infty} \frac{f(\tau)}{t-\tau} d\tau \quad (v \cdot p \text{ 表示主值})$$

解析信号的谱满足

$$F_a(\omega) = \begin{cases} 2 F(\omega) & \omega > 0 \\ F(\omega) & \omega = 0 \\ 0 & \omega < 0 \end{cases} \quad (6)$$

解析信号的 WD 满足

$$W_{f_a}(t, \omega) = 0 \quad \omega < 0 \quad (7)$$

(本文采用解析信号对地震序列进行分析).

(8) 实值性 任何实信号或者复信号, 其 WD 是变量 t 和 ω 的实函数.

值得注意的是, WD 不具有正值性, 因而不能简单地把它看作信号的能量. 但是, 如果采用高斯窗, 则可消除负值.

2.3 离散信号的WD

离散信号 $f(n)$, 其 WD 定义为

$$W_f(n, \omega) = 2 \sum_{k=-\infty}^{\infty} e^{-j2k\omega} f(n+k) f^*(n-k) \quad (8)$$

式中, $W_f(n, \omega)$ 是离散变量 n 和连续变量 ω 的函数. 且对变量 ω 具有周期 π . 将一个连续信号 $f(t)$ 离散为 $f(n)$, $f(n)$ 的 WD 象离散 Fourier 变换一样存在混淆问题. 但是对过采样信号和解析信号不存在混淆问题.

连续信号 $f_a(t)$ 和它的采样信号 $f(n)$ 的 WD 之间有下述关系:

$$W_f(n, \omega) = \frac{1}{T} \sum_{k=-\infty}^{\infty} W_{f_n}(nT, \frac{k\pi + \omega}{T}) \quad (9)$$

上式中的 T 为采样间隔.

实际计算中, 不可能取无穷长数据, 必须加窗. 若令窗 $W(k)$ 的长度 $M=2L-1$, 采样间隔为 $T=1$, 通常用下述公式计算WD:

$$PWD(n, \pi m/M) = \sum_{k=-L+1}^{L-1} \exp(-j2\pi km/M) P(k) f(n+k) f^*(n+k) \quad (10)$$

上式中, $P(k) = W(k) W^*(k)$. 因为加了窗, 所以称为伪 WD(Pseudo-WD).

更详细内容请参看 Classen 等(1980).

3. WD 与 Fourier 变换比较

为了研究 WD 的非稳态特点, 选用 3 个时间函数, 计算它们的 WD 和 Fourier 谱, 比较其异同, 结果一目了然. 3 个时间信号为

(1) 调幅信号 $f(t) = [1 + 0.5 \cos(2\pi f_m t)] \cos(2\pi f_c t)$

(2) 调频信号 $f(t) = \cos[2\pi f_c t + 6 \cos(2\pi f_m t)]$

(3) 调幅调频信号 $f(t) = [1 + 0.5 \cos(2\pi f_m t)] \times \cos[2\pi f_c t + 6 \cos(2\pi f_m t)]$

其中, $f_c = 10 \text{ Hz}$, $f_m = 0.5 \text{ Hz}$. 用(10)式计算了上述 3 个时变信号的 WD, 采样间隔为 $T = 1/32 \text{ s}$, 采用高氏窗函数 $W(k)$, 其中 $L = 32$.

图 1a, 图 2a 和图 3a 是上述 3 个时变信号的 WD. 图 1a 清楚地表现出振幅谱随时间变化, 图 2a 清楚地表现出频率随时间变化, 图 3a 清楚地表现出振幅和频率都随时间变化. 因而 WD 能很好地给出信号的时变性质. 图 1b, 图 2b 和图 3b 是这

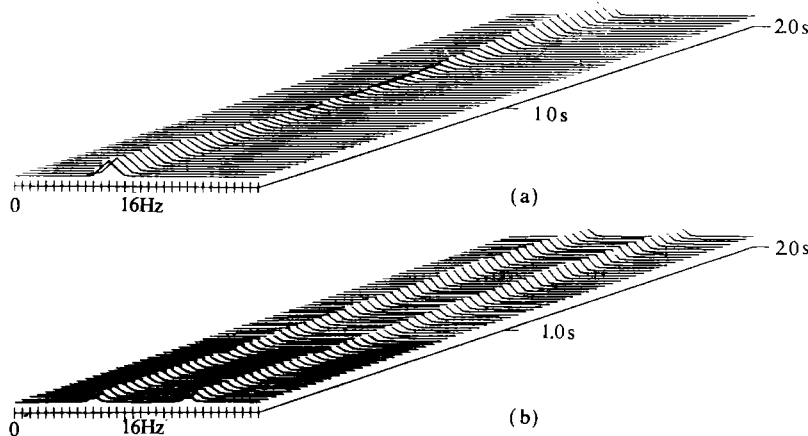


图 1 时变信号 $f(t) = [1 + 0.5 \cos(2\pi f_m t)] \cos(2\pi f_c t)$ 的 WD(a), Fourier 谱(b)

3 个时变函数的 Fourier 谱. 图 1b 没能表现出振幅变化, 图 2b 和图 3b 虽然有些频率变

化,但很混乱,特别是3个图中都出现了混淆现象,多出一个假频谱.在这种情况下,如果是对某种观测资料进行解释的话,必定导致错误结论.

这虽然是3个简单例子,但却充分显示了WD的优越性.

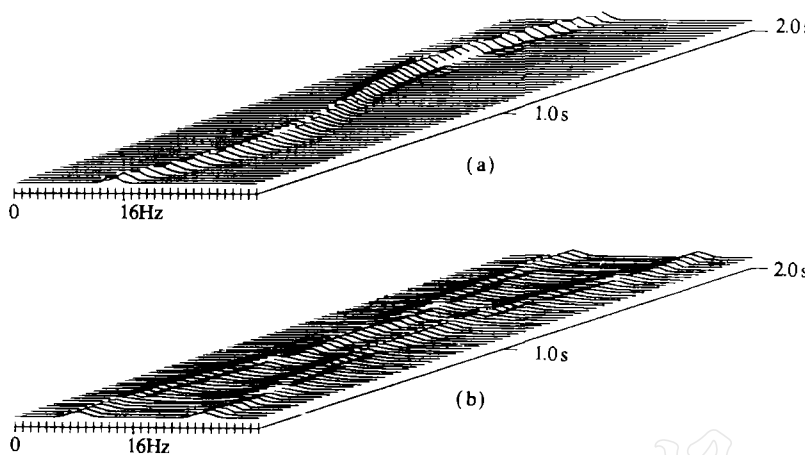


图2 时变信号 $f(t)=\cos[2\pi f_c t+6 \cos(2\pi f_m t)]$ 的WD(a),Fourier谱(b)

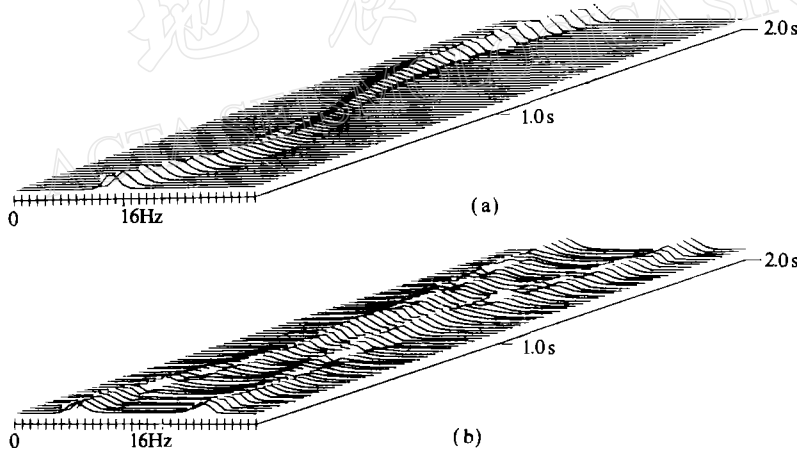


图3 时变信号 $f(t)=[1+0.5 \cos(2\pi f_m t)] \times \cos[2\pi f_c t+6 \cos(2\pi f_m t)]$ 的WD(a),Fourier谱(b)

4. WD 在地震趋势估计中的应用

4.1 思路

地震孕育是个非稳态过程,因而地震序列也是一个非稳态序列,它在不同时刻携带着不同的地震孕育信息.本文对地震序列进行WD分析,求出每一时刻的瞬时频率(也就得到了瞬时周期),用瞬时频率预报下次大震的发生时间.例如,假定未来的某年某月将

发生一个大地震,那么用 WD 分析求得的瞬时频率,应随着用于计算的时间向未来大地震时间的靠近,必定越来越大(即瞬时周期越来越小).另外,由于地震序列的离散性和随机性,所求得的瞬时频率也具有随机性,因而研究中引进概率“特征值”,定义它为落在单位时间段内预报的次数.研究结果表明,“特征值”与未来大震震级明显相关.

4.2 资料处理

选取大华北地区的地震序列进行研究.由于不同地震带,其地震孕育过程和大震复发周期是不同的,因此将大华北地区又分为 3 个地震带进行研究.表 1 给出了 3 个地震带的范围,由 A, B, C, D 4 点确定.

表 1 地震带

地震带	A		B		C		D	
	$\varphi(^{\circ}\text{N})$	$\lambda(^{\circ}\text{E})$	$\varphi(^{\circ}\text{N})$	$\lambda(^{\circ}\text{E})$	$\varphi(^{\circ}\text{N})$	$\lambda(^{\circ}\text{E})$	$\varphi(^{\circ}\text{N})$	$\lambda(^{\circ}\text{E})$
邢台	36	113	36	115.5	38	113	38	115.5
邢台-河间-唐山	36.5	114	36.5	118.5	40	114	40	118.5
海城	39	115	39	125	43	115	43	125

用地震序列的能量的平方根,组成时间序列 $f(t)$

$$f(t) = \sum_i \sqrt{E_i} \quad (11)$$

$$E = (10^{1.5m_s} + 11.8) \times 10^{-7} \text{ J} \quad (12)$$

在进行 WD 计算时,采用高斯窗函数

$$W(t) = e^{-t^2/2L^2} \quad (13)$$

表 2 给出了各个地震带所用资料的时间段、采样间隔、采样点数和 L 值.

表 2 地震资料的参数

地震带	时间段(年·月)	采样间隔(月)	采样点数	L 值
邢台	1954.9—1975.12	1	256	15
邢台-河间-唐山	1965.5—1975.12	1	128	15
海城	1960.1—1975.12	6	32	8

现以邢台地震带为例,予以详细说明:

采用邢台地区($36-38^{\circ}\text{N}, 113-115.5^{\circ}\text{E}$)1954 年 9 月—1975 年 12 月之间的 $M_s < 5$ 的地震序列,采样间隔为一个月,即将每个月里的 $M_s < 5.0$ 地震,按(11)式和(12)式计算出相应的 $f(n)$ 值.为了避免混淆现象和求得瞬时频率,首先用(5)式求出 $f(n)$ 的解析序列 $f_a(n)$,然后用(10)式求出 $f_a(n)$ 的 WD,再利用(4)式求出瞬时频率.最后,根据落在每个时间段内的预报次数计算特征值.

例如,对 1954 年 9 月求得瞬时频率为 $1/123$,即从 1954 年 9 月起 123 月,也就是 1964 年 12 月将发生 $M_s > 5.0$ 地震.但是,1964 年 12 月之前,可能有几个时间都预报在 1964 年

12月有 $M_s > 5.0$ 地震, 例如有 8 次, 那么, 1964 年 12 月的特征值即为 8, 其它类推.

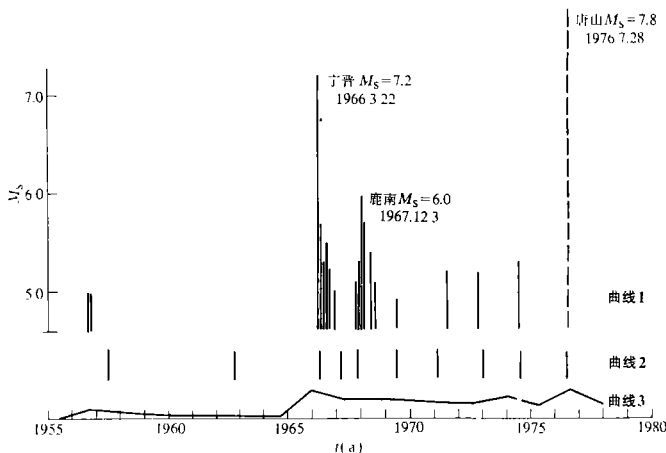


图 4 邢台地震带地震趋势估计

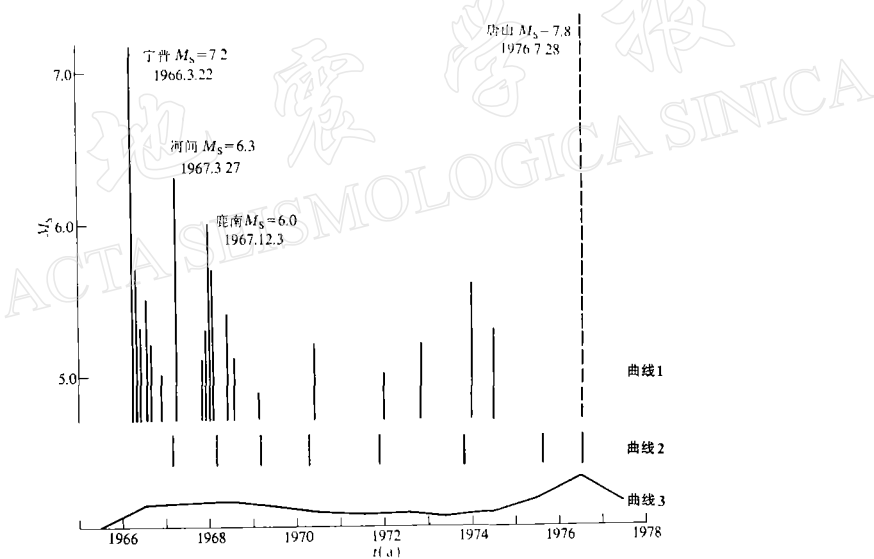


图 5 邢台-河间-唐山地震带地震趋势估计

4.3 结果

图 4 是据上述方法, 对邢台地震带地震趋势估计结果. 图中有 3 列线, 最上一列线表示实际发生的 $M_s > 5.0$ 地震, 中间一列线为预报发生 $M_s > 5.0$ 地震的时间, 最下一列线为特征值.

图 4 中有 3 个结果是明显的: 首先, 预报的时间与实际发生大地震的时间较吻合; 其次, 特征值越大, 对应的地震越大; 其三, 用邢台地震带 1975 年 12 月之前资料, 预报出了 1976 年 7 月份的唐山大地震, 不论是预报的时间还是震级都较好. 这说明了邢台地震带是华北地震活动的“应力窗口”.

图 5 是邢台-河间-唐山地震带地震趋势估计结果. 由于资料仅从 1965 年开始, 所以 1966 年 3 月邢台地震的发震时间没预报出来, 而特征值表明有一个大地震. 但是对 1976 年 7

月的唐山地震预报得很好。

图 6 是海城地震带地震趋势估计结果。由图看出, 对 1975 年 2 月的海城地震预报得很好。

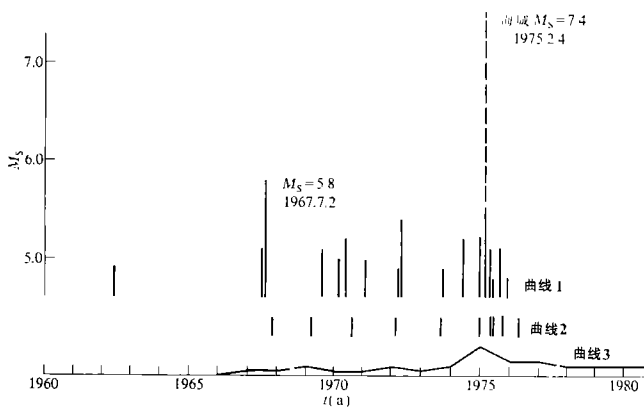


图 6 海城地震带地震趋势估计

5. 讨 论

用地震序列分析进行大地震趋势估计有很多种方法。本文采用 WD 方法, 结果表明不但能估计大地震发生时间, 还能估计大地震的震级, 是地震序列分析中一种较好方法。但是, 本文获得的结果仅仅是对已有资料的后验, 后验往往是容易实现的, 它与预报有本质差异。要发展该方法, 必须在实际预报中进行检验和完善。此外, 就方法本身也还有不少需改进之处, 如:(1)对地区和震级的选择应寻找更合理的标准; (2)文中关于特征值结果表明, 特征值越大, 所对应的地震越大。由于仅研究了 3 个地区, 还不能给出定量关系, 而且特征值本身应归一化; (3)结果表明, 只有资料足够长, 预报效果才较好。因此, 应进一步研究对较短观测资料如何应用该方法。总之, 本文仅仅是一个初步结果。

参 考 文 献

- Boachan, B. and Escadie, B., 1985. Wigner-Ville analysis of asymptotic signals and applications. *Signal Processing*, **B**, 8, 315–327.
- Bartels, B. G. F. and Parks, T. W., 1986. The time varying filtering and signal estimation, using Wigner distribution synthesis techniques. *IEEE Trans.*, **ASSP-34**, 442–451.
- Classen, T. A. C. M. and Mecklenbrauker, W. F. G., 1980. The Wigner distribution—a tool for time-frequency signal analysis. *Philips J. Res.*, **35**, 217–250.
- Jane, C. P. and Kaiser, A. J. M., 1983. Time-frequency distribution of loudspeakers: the application of Wigner distribution. *J. Audio Eng. Soc.*, **31**, 198–222.
- Martin, M., 1984. Measuring the degree of nonstationary by using Wigner-Ville spectrum. *ICASSP-84*, 3, 41B, 1–4.
- Wigner, E., 1932. On the quantum correction for thermodynamic equilibrium. *Phys. Rev.*, **40**, 749–759.